

ДИНАМИЧЕСКИЙ ВТОРИЧНЫЙ ПИРОЭФФЕКТ В НИОБАТЕ ЛИТИЯ

Л.П.Переверзева, Ю.М.Поплавко, С.К.Скларенко, А.Г.Чепилко

Установлено теоретически и подтверждено экспериментально, что в полярно-нейтральных направлениях ацентрических кристаллов при анизотропном ограничении термической деформации наблюдается вторичный пироэффеkt, который реализуется в пьезоэлектрических резонаторах в интервале частот между первым и последним акустическими резонансами.

При изменении температуры полярного кристалла на $\delta T = T - T_0$ в нем изменяется спонтанная поляризация $\delta P_i = \gamma_i^{(1)} \delta T$, где $\gamma_i^{(1)}$ – пирокоэффициент от первичного пироэффеkта. Кроме того, происходит термическая деформация кристалла $x_n = \alpha_n^E \delta T$, которая обусловливает вторичный пироэффеkт с коэффициентом $\gamma_i^{(2)}$ (α_n^E – коэффициент термического расширения). В итоге однородное изменение температуры ($\text{grad } T = 0$ и сдвиговые деформации отсутствуют) обусловливает суммарный пироэффеkт:

$$\gamma_i = \gamma_i^{(1)} + \gamma_i^{(2)} = \gamma_i^{(1)} + e_{in}^T \alpha_n^E. \quad (1)$$

где сумма $e_{in}^T \alpha_n^E$ определяет вклад вторичного пироэффеkта, а e_{in}^T – пьезомодули. Предполагалось, что сумма (1) отлична от нуля только в полярных направлениях пироэлектриков, т.е. в 10 классах кристаллов, обладающих спонтанной поляризацией, а для неполярных направлений $\gamma_i^{(1)} = 0$ и $\gamma_i^{(2)} = e_{in}^T \alpha_n^E = 0$. Отметим, что последнее равенство предполагает свободную термическую деформацию ацентрического кристалла, вследствие его пьезоэлектрический вклад термических деформаций полностью компенсируется. Точно также в зажатом кристалле $\gamma_i^{(2)} = 0$, так как деформации запрещены.

Как показано далее частичное зажатие ацентрического кристалла (которое может быть реализовано, например, анизометрических пьезорезонаторах – тонком диске, длинном стержне и др.) приводит к декомпенсации динамического вклада термических деформаций, вследствие чего эффективные значения

$$\alpha_n^E e_{in}^T (\omega) \neq 0, \quad (2)$$

в интервале частот $\omega_1 \leq \omega \leq \omega_2$, где ω_1 – частота первого акустического резонанса (радикальных колебаний диска, продольных колебаний стержня и др.), а ω_2 более высокая частота акустического резонанса (толщинных колебаний диска или стержня).

Неравенство (2) реализуется только для так называемых¹ полярно-нейтральных направлений в ацентрических кристаллах: именно в них при определенных граничных условиях (в частности, при ограничении некоторых деформаций пьезозажатием) компенсация полярности может быть нарушена и становится возможным динамический вторичный пироэффеkт. Так, в кристаллах группы $3m$, к которым относится ниобат лития, кроме первичного и вторичного пироэффеkта в полярном направлении [001], в данной работе рассчитан и экспериментально обнаружен вторичный пироэффеkт в полярно-нейтральном направлении [010], в то время как для направления [100] вторичный пироэффеkт теоретически невозможен и не обнаруживается экспериментально. Примечательно, что обнаруженный эффект в ниобате лития не мал;

$$|\gamma_2^{(2)} / \gamma_3^{(2)}| \approx d_{22}^T / d_{31}^T \approx 15.$$

Аналитические выражения для расчета динамического пироэффеkта получены совместным решением уравнений термически индуцированного пьезоэффеkта и уравнений Максвелла

ла по методике, близкой к работе². Получены выражения, описывающие частотную дисперсию компонентов вектора вторичного пироэфекта для всех 26 классов ацентричных кристаллов.

В частности, для дисковых пьезоэлементов из кристаллов группы 3т вклады вторичного пироэффекта равны: $\gamma_1^{(2)}(\omega) = 0$.

$$\gamma_2^{(2)} = \frac{d_{22}^T (\alpha_1^E S_{33}^{ET} - \alpha_3 S_{15}^{ET})}{S_{11}^{ET} S_{33}^{ET} - (S_{13}^{ET})^2} f(\omega), \quad \gamma_3^{(2)} = \frac{2 d_{31}^T \alpha_1^E}{S_{11}^{ET} + S_{12}^{ET}} f(\omega), \quad (3)$$

где $f(\omega) = 1 - 2\omega_0/\pi\omega \operatorname{tg}(\pi\omega/2\omega_0)$, ω_0 – частота акустического резонанса радиальных колебаний диска, α_{in}^T – компоненты пьезомодуля, S_{nm}^{ET} – компоненты тензора упругой податливости. Аналогичные выражения получены для стержневых резонаторов. Высшие моды колебаний и затухание при расчетах не учитывались.

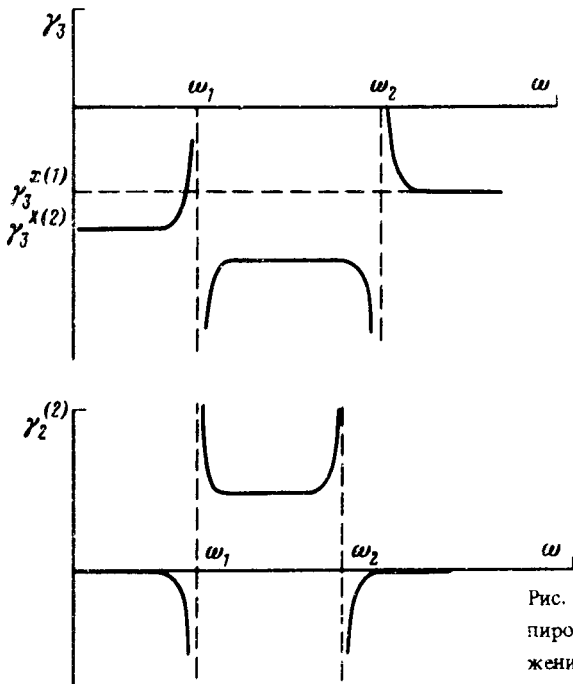


Рис. 1. Расчетная частотная дисперсия компонентов пирокоэффициента в ниобате лития, где X – напряжение

На рис. 1 схематически показан частотный спектр γ_i ниобата лития. В соответствии с (3) $\gamma_1 = 0$, а в γ_3 складываются компоненты первичного и вторичного эффектов. Предполагается, что $\gamma_3^{(1)}$ от частоты не зависит, вклад вторичного эффекта, напротив, изменяется при радиальном (ω_1) и толщинном (ω_2) резонансах (гармонические составляющие не учитываются). Новой является информация о частотном ходе $\gamma_2^{(2)}$. Как в свободном кристалле ($\omega = 0$), так и в зажатом ($\omega \rightarrow \infty$) вторичный пироэффект $\gamma_2^{(2)}$ отсутствует. Частотный диапазон проявления динамического пироэффекта зависит от соотношения диаметра и толщины диска-пьезорезонатора.

Экспериментальная установка по исследованию динамического пироэффекта включает в себя лазер ЛГН-215, мощностью 50 мВт, излучение которого модулируется с помощью затвора МЛ-3 в диапазоне частот $0 \div 10^7$ Гц. Пироотклик измерялся селективным вольтметром В6-10. Образцы ниобата лития изготавливались в виде дисков диаметром 3,5 мм и толщиной 0,1 мм. Электроды наносились на плоскости диска, который свободно подвешивался и освещался в торец модулированным лучом лазера.

Результаты измерений динамического пироотклика приводятся на рис. 2. В соответствии с расчетом в диске, ориентированном перпендикулярно направлению [100] пироотклик от-

существовал. Этот результат важен и в том отношении, что данная ориентация ниобата лития разрешает третичный пироэфект³. Следовательно, условия эксперимента исключали заметный вклад этого эффекта.

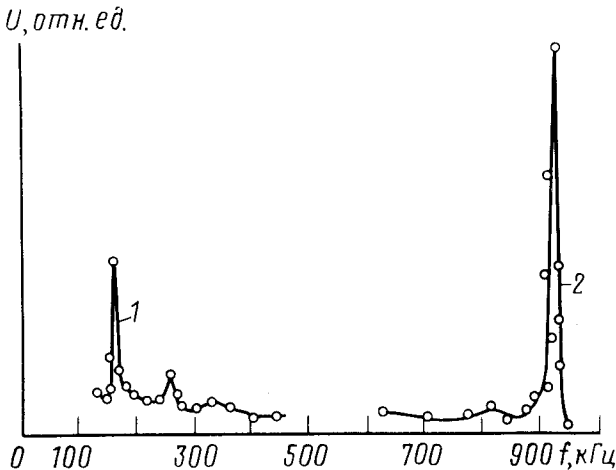


Рис. 2. Динамический пироотклик ориентированных дисков ниобата лития: 1 – кристаллографический срез, перпендикулярный направлению [001]; 2 – кристаллографический срез, перпендикулярный направлению [010]

Частотный ход пирокоэффициентов γ_3 и $\gamma_2^{(2)}$ в целом подтверждают приведенные выше теоретические оценки. При этом вторичный пироэфект может заметно усиливаться за счет пьезорезонанса (3). Примечательно, что полярно-нейтральный срез кристалла ниобата лития дает существенно больший динамический вторичный пироотклик по сравнению с полярным срезом. Расчеты показывают, что в tantalате лития это различие ожидается меньшим: $\gamma_2^{(2)}/\gamma_3^{(2)} \approx 2$.

Очевидно, что и в неполярных, но ацентрических кристаллах имеются условия динамического неравенства (2) в полярно-нейтральных направлениях. Например, в кристаллах дигидрофосфата аммония, относящихся к группе 42m, динамический вторичный пироэфект, согласно расчету, аналогичному (3), проявляется в длинном прямоугольном стержне, вырезанном в направлении [110], с электродами, нанесенными на плоскости (001).

$$\gamma_3^{(2)} = 2d_{36}^T \alpha_1^E / 2S_{11}^{E,T} + 2S_{12}^{E,T} + S_6^{E,T}. \quad (4)$$

Расчет дает для пирокоэффициента $\gamma_3^{(2)} = 17f(\omega) \text{ мкКл/(м}^2 \cdot \text{К})$. Динамический пироотклик наблюдался экспериментально в резонаторе в виде длинного стержня из дигидрофосфата аммония.

Литература

1. Желудев И.С. Физика кристаллических диэлектриков. М.: Наука, 1968.
2. Glass A.M., Abrams R.L. J. Appl. Phys., 1970, 41, 4455.
3. Косоротов В.Ф., Кременчугский Л.С., Самойлов В.Б., Шедрина Л.В. Пироэлектрический эффект и его практическое применение. Киев: Наук. думка, 1980.

Киевский политехнический институт

Институт физики
Академии наук Украинской ССР

Поступила в редакцию
26 июня 1990 г.